

# ANTROPOLOGIA

# CRANEO PROCEDENTE DE LA CUEVA SEPULCRAL DE CHAJORA

(Guía de Isora, Tenerife)

P O R

MANUEL GARCIA SANCHEZ

## INTRODUCCIÓN.

El cráneo objeto del presente trabajo nos fue remitido por el profesor Manuel J. Lorenzo Perera, miembro del Departamento de Arqueología y Prehistoria de la Universidad de La Laguna, a quien agradecemos cordialmente su atención.

Procede de la cueva sepulcral prehispánica de Chajora, en el término de Guía de Isora (Tenerife), situada a unos 2.300 metros de altitud sobre el nivel del mar, en un paraje desnudo de vegetación, pero próximo a zonas de matorral donde predominan las retamas (*Spartocytisus nubigenus*) y los codesos (*Adenocarpus viscosus*). El yacimiento fue descubierto, en 1969, por miembros del Grupo Montañero de La Orotava (Tenerife), hallando en él un enterramiento individual, en decúbito supino, efectuado al aire libre en un tubo volcánico, con una lasca de obsidiana como único ajuar funerario y unos fragmentos de troncos vegetales, algunos de ellos quemados en los extremos, restos indudables de una yacija (Lorenzo Perera, 1976).

Por su emplazamiento, constituye un ejemplo más de yacimiento funerario aborígen en el área pastoril de alta montaña de la comar-

ca de Arguayo y Santiago del Teide (Diego Cuscoy, 1947, 1953, 1965). Dada la altitud de la cueva y la flora de la zona circundante, es muy probable que el cadáver fuera depositado en ella por los pastores guanches trashumantes en los meses de verano o a comienzos del otoño, durante el habitual período de pastoreo en la montaña, antes de que los primeros fríos les obligaran a desplazarse nuevamente con sus rebaños hacia las zonas bajas de las proximidades de la costa, en busca de los precarios pastos de invierno (Diego Cuscoy, 1960, 1963; Ortuño Medina, 1960).

#### CARACTERES GENERALES DEL CRÁNEO.

*Estado de conservación.*—Se trata de un cráneo completo, sin mandíbula inferior, en excelente estado de conservación, aunque existen pérdidas de sustancia que afectan al suelo orbitario derecho y están rotas las apófisis estiloides. Piezas dentarias conservadas: P<sup>1</sup>, P<sup>2</sup>, M<sup>1</sup>, M<sup>2</sup>, M<sup>3</sup>, de ambos lados; las restantes que faltan han caído *post-mortem*. El desgaste dentario es mediano en los premolares y M<sup>1</sup> izquierdo (grado 2 de Broca) y poco intenso en los demás molares (grado 1). Se observa una caries amplia y penetrante en la cavidad pulpar, localizada en la cara distal de la corona del M<sup>1</sup> izquierdo, que ha originado un absceso apical. No existe ninguna reabsorción alveolar, siendo la implantación dentaria completamente normal.

*Suturas.*—Sinóstosis completa de las suturas esfeno-basilar y esfeno-frontal derecha, avanzada en S<sup>3</sup> e iniciada en la porción adyacente de S<sup>2</sup>; en el resto de las suturas de la bóveda no se advierten indicios de sinóstosis en la tabla externa, estando todas ellas abiertas en la tabla interna. El curso de las mismas es algo complicado en general, sobre todo en las porciones centrales de la coronal, sagital y lambdaídea, que son muy complicadas (grado 5 de Broca en S<sup>2</sup>).

*Sexo y edad.*—Entre las características generales más notables del ejemplar estudiado, destacan sus reducidas dimensiones (sobre todo de altura), con mediano espesor de los huesos de la bóveda

(5 mm. en bolsas parietales) y moderado desarrollo de los relieves de las inserciones musculares, que le confieren un aspecto un tanto grácil. En consonancia con su pequeño tamaño, la capacidad craneana —calculada mediante la fórmula interracial de Lee-Pearson— es baja, clasificándose cerca del límite inferior de la euencefalia, muy próxima a la oligoencefalia (dif.=4,6 c. c.), según las categorías establecidas por Sarasin para la evaluación de este carácter. No obstante, el peso del cráneo es mediano y, por consiguiente, el índice calvario-cerebral es alto (46,95), lo que unido a las usuales características diferenciales empleadas en el diagnóstico sexual, indican que el ejemplar correspondería a un individuo adulto masculino, cuya edad probable se puede estimar en unos treinta años, si se atiende al grado y localización de las sinóstosis de las suturas de la bóveda analizadas más arriba, mediante el empleo del esquema de Dérobert y Fully (1960).

#### CARACTERÍSTICAS MORFOLÓGICAS.

*Norma superior* (lám. I, a).—Atendiendo al sistema taxonómico de Sergi para la clasificación del contorno de la bóveda, este ejemplar puede calificarse de ovoide-esferoide por el ensanchamiento de la región frontal, unido a protuberancias parietales redondeadas, muy poco acusadas y delanteras. Criptocigo. Mesocráneo por el índice cefálico, aunque más cerca de la braqui que de la doliocránea (dif.=1,2). Intermedio entre la esfero y la paralelometopia, según el índice transverso frontal, y eurimetope acentuado por el transverso fronto-parietal, a causa del metopismo.

En esta norma se aprecia muy bien la persistencia de la sutura metópica en todo su trayecto, estableciendo contacto con la coronal a 5 milímetros a la derecha del bregma (contacto parietal derecho-frontal izquierdo), el cual se halla desplazado a la izquierda del plano sagital 0,5 milímetros. Ausencia de ambos agujeros parietales.

*Norma lateral* (láms. I, b, y II, b).—No obstante la reducida longitud máxima, la bóveda aparece más bien baja en esta norma. El perfil sagital en la región frontal es bastante inclinado, pese al índice sagital frontal, que denota ortometopismo acentuado; es plano

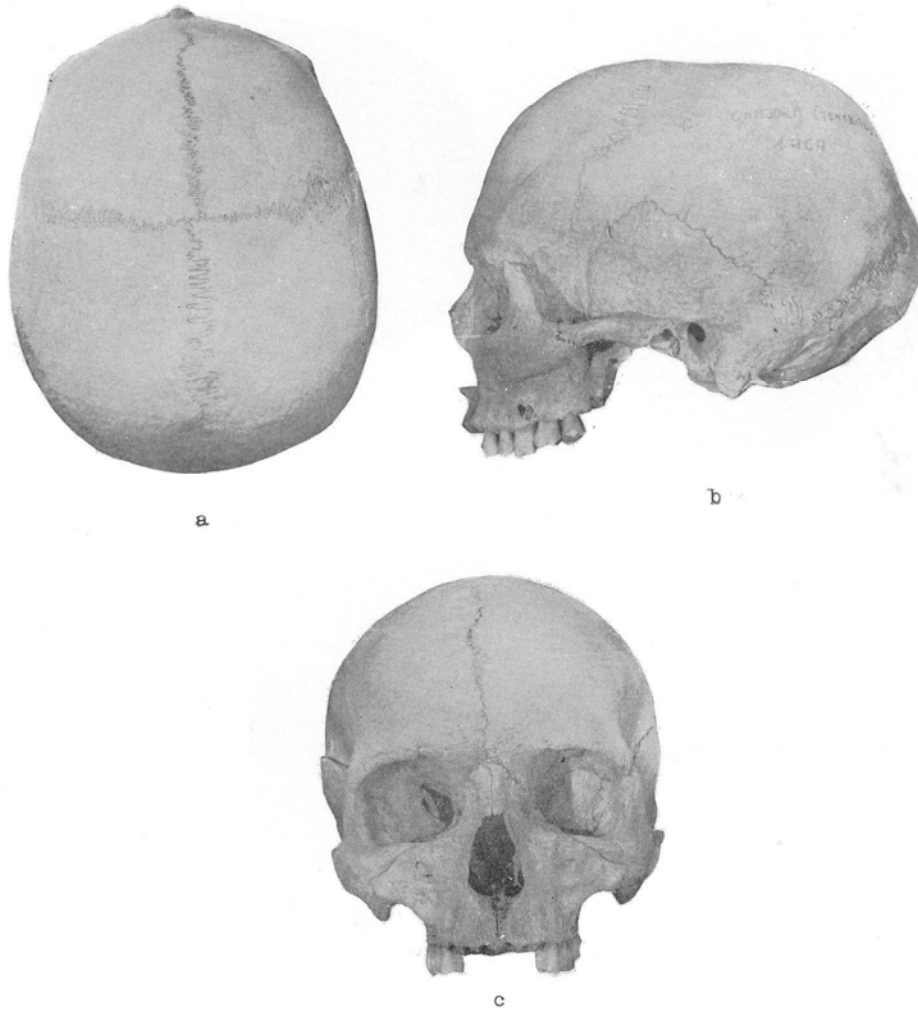
en la región del vértex, presentando marcado aplanamiento post-obélico, cuya dirección es muy oblicua hacia abajo y atrás, y se continúa con el perfil redondeado del occipucio, muy prominente, con porción subiníaca algo abombada y larga. Nasio medianamente hundido bajo la glabella, que es de moderado desarrollo (tipo III de Martin), con arcos superciliares algo salientes. Las apófisis mastoides son medianas pero robustas, con ranura digástrica amplia y profunda y cresta supramastoidea acusada. Líneas crotáfites marcadas, siguiéndose la inferior en casi todo su trayecto. El pterio muestra una sutura esfeno-parietal en H, más estrecha en el lado derecho. Arcos cigomáticos fuertes y gruesos, con acusadas rugosidades de inserción para el masetero y tubérculo post-glenoideo bien desarrollado. Escama temporal baja y muy alargada, con borde superior rectilíneo e inclinado hacia abajo y atrás. El ínio es débil (tipo 1 de Broca). Existen dos wormianos pequeños (tipo I de Broca) en la sutura parieto-mastoidea del lado izquierdo. Ortocráneo por los índices vértico y aurículo-longitudinal, ambos con clara tendencia a valores bajos, especialmente el primero, casi en el límite con la camocránea (dif.=0,07).

El perfil de la cara es ortognato, en el límite con la mesognatia, según el ángulo de Weisbach, aunque por el índice gnático de Flower resulta de un ortognatismo acentuado. En cambio, por el ángulo del perfil total de la cara se clasifica como mesognato, siendo ortognato por el ángulo del perfil nasal y con moderado prognatismo subnasal, según el ángulo del perfil alveolar. Nariz prominente, de perfil ligeramente convexo y con espina nasal anterior saliente (tipo 4 de Broca).

*Norma anterior* ( lám. I, c).—Aplanamiento de la cara por la frontalidad de los malares, que sobresalen lateralmente. La frente es ancha, con protuberancias frontales muy poco desarrolladas. Glabella y arcos superciliares de mediano desarrollo en su parte interna (tipo II de Cunningham y Schwalbe), con trígono bien delimitado.

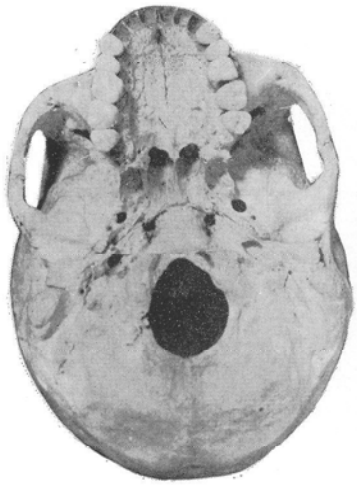
La cara es baja y de mediana anchura absoluta, por lo cual resulta meseno según el índice facial superior, aunque muy próximo a la eurienia (dif.=0,8). Orbitas algo anchas y bajas, de contorno rectangular, con el eje transversal ligeramente inclinado hacia abajo y afuera; por el índice orbitario medio se clasifican como came-

LAMINA I



Cráneo de Chajora.—Orientado según el plano aurículo-orbitario. (Reducción aproximada 1/3.)

LAMINA II



a.



b.



c.

Cráneo de Chajora.—Orientado según el plano aurículo-orbitario. (Reducción aproximada 1/3.)

concas, pero próximas al límite con la mesoconquia (dif.=0,7). Gran anchura interorbitaria, con sutura nasio-frontal semilunar. Huesos nasales en reloj de arena, con ángulo diedro agudo, en concordancia con la abertura piriforme que es muy estrecha, con borde inferior cortante (tipo 3 de Martín) y espina nasal anterior acusada. Nariz de mediana altura, pero muy estrecha, como indica el índice nasal, que se clasifica en la leptorrinia muy acentuada. Los huesos malares son rugosos y salientes y el maxilar superior estrecho, con corto espacio subnasal y fosa canina amplia, pero poco profunda.

*Norma posterior* (lám. II, c).—El contorno de la bóveda en esta norma es bombiforme, con protuberancias parietales bajas y más salientes que en norma superior y arco transversal poco abovedado, con escaso desarrollo relativo en altura. Tapinocráneo acusado por los índices vértico y aurículo-transversal, aunque más acentuado por este último. Inio poco marcado y líneas nucales de mediano desarrollo. Lateralmente, se aprecia muy bien el fuerte resalte de la cresta supramastoidea. Se observan tres wormianos en L<sup>1</sup> izquierda, de tamaño mediano (tipo III de Broca), y uno pequeño y redondeado (tipo I) en L<sup>3</sup> del mismo lado.

*Norma inferior* (lám. II, a).—Región maxilar estrecha y alargada, clasificándose como leptouránico acusado por el índice máxilo-alveolar. Arco dentario de tipo paraboloide. Paladar muy estrecho, rugoso y algo profundo, con sutura palatina transversa cóncava hacia atrás (tipo 3 de Stieda). Leptoestafilino acentuado según el índice palatino. Piezas dentarias medianas y serie decreciente de los molares ( $M^1 > M^2 > M^3$ ), con corona tetracúspide el M<sup>1</sup> derecho (tipo 4 de Dahlberg) y tricúspides los restantes de ambos lados. El índice dentario de Flower indica mesodontia, con tendencia a valores bajos (dif. media=0,8).

El agujero occipital es de forma ovoidea, grande y estrecho, y los cóndilos occipitales medianos, pero anchos y curvados. Las cavidades glenoideas son medianas, aunque profundas y con tubérculo post-glenoideo acentuado.



## MEDIDAS E ÍNDICES.

En la medición del cráneo se ha empleado la técnica de Martin (1958). Dada la asimetría de las órbitas y de los dientes yugales, se ha calculado la media aritmética de sus índices respectivos, al objeto de establecer comparaciones adecuadas con otras series. A continuación figuran las principales medidas e índices.

## CUADRO 1

*Cráneo cerebral*

Capacidad (Pearson)	1 305,64 c. c.
Peso del cráneo .. .. .	613 g.
Módulo craneal ....	146,83
Longitud máxima .	177
Longitud de la base ..	97
Anchura máxima .	139,5
Anchura frontal mínima .	98
Anchura frontal máxima ..	119
Anchura biastérica ..	110
Altura basio-bregma ..	124
Altura auricular .. .. .	105
Perímetro horizontal ..	502
Arco transversal .	298
Arco sagital total	348
Arco sagital frontal .	125
Arco sagital parietal ..	116
Arco sagital occipital ..	107
Cuerda sagital frontal .	108
Cuerda sagital parietal ..	104
Cuerda sagital occipital .	88
Índice cefálico .	78,81
Índice vértico-longitudinal ...	70,08
Índice aurículo-longitudinal .	59,32
Índice vértico-transversal . .	88,89
Índice aurículo-transversal . .	75,27
Índice transverso frontal ..	82,35
Índice transverso fronto-parietal	70,25
Índice transverso parieto-occipital ..	78,85
Índice sagital total (Mollison)	358,76
Índice sagital frontal . . .	86,40
Índice sagital parietal .. .	89,65
Índice sagital occipital .. .	82,24
Índice calvario-cerebral	46,95

## CUADRO 2

*Cara superior*

Longitud de la cara . . . . .	93
Anchura biorbitaria ... . . . .	97
Anchura bicigomática . . . . .	130
Altura de la cara superior .. . . .	66
Anchura interorbitaria .. . . .	23
Anchura de la órbita (derecha) . . . . .	40
Anchura de la órbita (izquierda) . . . . .	41
Altura de la órbita (derecha) . . . . .	30
Altura de la órbita (izquierda) . . . . .	31
Anchura nasal . . . . .	20
Altura nasal .. . . .	49,5
Longitud máxilo-alveolar .. . . .	53
Anchura máxilo-alveolar . . . . .	56
Longitud del paladar .. . . .	45
Anchura del paladar .. . . .	33
Longitud dentaria (derecha) .... .	42
Longitud dentaria (izquierda) . . . . .	41
Angulo del perfil total .. . . .	83°
Angulo del perfil nasal . . . . .	86°
Angulo del perfil alveolar .. . . .	74°
Angulo de Weisbach . . . . .	73°
Indice facial superior . . . . .	50,77
Indice interorbitario . . . . .	23,71
Indice orbitario (derecha) . . . . .	75,00 <sup>b</sup>
Indice orbitario (izquierda) . . . . .	75,61
Indice nasal .. . . .	40,40
Indice máxilo-alveolar . . . . .	105,66
Indice palatino . . . . .	73,33
Indice gnático de Flower ... . . . .	95,88
Indice fronto-cigomático .. . . .	75,38
Indice transverso cráneo-facial .. . . .	93,19
Indice dentario de Flower (derecha) . . . . .	43,30
Indice dentario de Flower (izquierda) . . . . .	42,27

## METOPISMO.

La persistencia de la sutura metópica en los cráneos guanches varía, según los diversos autores, entre 6,3 por 100 (Schwidetzky, 1963), 7 por 100 (Barras de Aragón, 1929) y 12,6 por 100 (Verneau, 1887), siendo más fiable la primera cifra por tratarse de una serie mucho más numerosa que las otras (en total, 1.903 cráneos de ambos sexos). La misma autora observa una frecuencia de metopismo en los cráneos masculinos de Tenerife de un 10,2 por 100.

Según Comas (1942), en los cráneos metópicos masculinos, todos los diámetros transversos de la región anterior del cráneo son neta-

mente más grandes que en cráneos no metópicos (anchuras frontal mínima, frontal máxima, interorbitaria, biorbitaria), por lo cual el índice transverso fronto-parietal es más elevado en aquéllos (media, +2), mientras que el transverso frontal apenas se modifica. El metopismo influye también, aunque en mucho menor grado, sobre la longitud máxima, que es ligeramente más pequeña, y sobre la anchura máxima del cráneo, algo más grande, resultando, por consiguiente, el índice cefálico algo elevado (media, +2) y un poco más bajo el índice vértico-transversal, en particular (media, -2). No se modifican sensiblemente ni la altura basio-bregmática ni la anchura biastérica ni la capacidad craneana. Los huesos wormianos, en general, se presentan con más frecuencia en las series metópicas masculinas, predominando en el lado izquierdo.

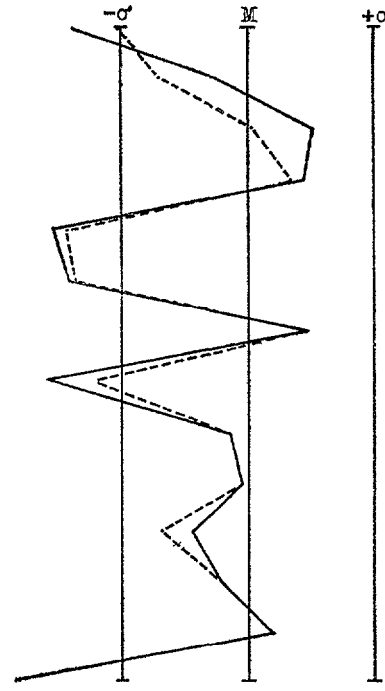
En la cara, los malares son más débiles en los cráneos metópicos y el índice orbitario, sobre todo en hombres, es más grande (media, +1,3), lo que enmascara la diferencia sexual típica de las órbitas. También, la mayoría de los cráneos metópicos son criptocigios, a causa del notable ensanchamiento de la región frontal, que a su vez influye sobre el contorno de la norma superior, por lo cual parece lógico suponer que un contorno esferoide sería, en realidad, ovoido corto, de no existir metopismo.

Por todo ello, conviene tener presente en las comparaciones que siguen, las modificaciones que experimentan, entre otras, las anchuras frontales y la máxima craneal del ejemplar metópico estudiado y las variaciones que pueden sufrir los índices en que dichas medidas intervienen, para poder efectuar una correcta interpretación de los resultados.

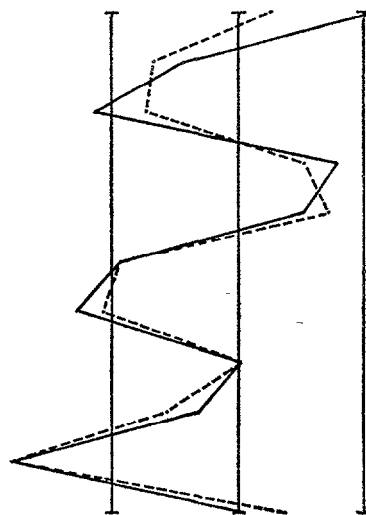
#### COMPARACIONES.

Con las debidas reservas enunciadas más arriba, se compara el ejemplar estudiado con la serie masculina del Norte de Tenerife, de época prehispanica, elaborada por Schwidetzky (1963), que se toma como base. Esta serie está integrada por 105 ejemplares en los que predomina el tipo cromañóide. En el diagrama de desviación adjunto puede comprobarse cómo el cráneo de Chajora muestra, en general, menores dimensiones que el promedio de la serie base, aun-

Longitud máxima  
 Anchura máxima  
 Anchura frontal mínima  
 Anchura biastérica  
 Altura basio-bregma  
 Módulo craneal  
 Longitud de la base  
 Arco sagital total  
 Anchura bicigomática  
 Altura de la cara superior  
 Altura de las órbitas (media)  
 Anchura de las órbitas (media)  
 Altura nasal  
 Anchura nasal



Índice cefálico  
 Ind. vértico-longitudinal  
 Ind. vértico-transversal  
 Ind. transv. fronto-parietal  
 Ind. transv. parieto-occipital  
 Ind. sagital frontal  
 Ind. sagital total  
 Ind. facial superior  
 Ind. orbitario (media)  
 Ind. nasal  
 Ind. transv. cráneo-facial



Serie base: Norte de Tenerife σ

Cráneo comparado: Chajora σ — ; Chajora sin metopismo - - - -

que las desviaciones de las medidas absolutas del neurocráneo no rebasan apenas una unidad  $\sigma$ , excepto la longitud máxima, la altura basio-bregma y la curva sagital total y, como consecuencia, el módulo craneal, exagerándose la distancia únicamente en la anchura nasal, claramente inferior. En los índices, las oscilaciones se realizan a ambos lados del promedio de la base en casi igual proporción y sólo el índice nasal es mucho menor, rebasando significativamente el valor negativo de la dispersión cuadrática.

Al objeto de ensayar un mayor grado de aproximación en las comparaciones, se añade al diagrama la posición que ocuparía en el ámbito de la variabilidad serial el cráneo estudiado, de no existir metopismo, teniendo en cuenta la corrección efectuada en las medidas e índices respectivos con arreglo a las conclusiones de la tesis de Comas (1942). Se observa claramente que, en conjunto, las desviaciones son menos acentuadas.

En resumen, por tratarse de desviaciones individuales, son poco significativas las divergencias del cráneo estudiado con respecto a los promedios de los diferentes caracteres de la serie base, pudiendo incluirse en la tipología cromañóide, dentro del subtipo grácil, tan abundante en la población prehispánica de la isla de Tenerife.

#### DIAGNÓSTICO TIPOLÓGICO.

Tanto la simple observación craneoscópica como el estudio métrico comparado, coinciden en orientar el diagnóstico del ejemplar hacia el tipo cromañóide, elemento predominante en las poblaciones prehistóricas y actuales de la zona montañosa del Norte de Tenerife (Fusté, 1961; Schwidetzky, 1975). En efecto, entre las características más importantes del cráneo estudiado destacan: Cara ancha y baja, con índice facial superior casi en el límite con la eurienia; arcos superciliares muy desarrollados en su parte interna (tipo II) y triángulo bien delimitado; órbitas bajas, anchas y rectangulares (cameconco), con borde superior poco inclinado; pómulos algo salientes y rugosos, con mediana frontalidad de los mismos; sutura nasio-frontal ancha, de forma semilunar; maxilar superior relativamente estrecho (dolicoouránico). En norma lateral, inclinación acentuada de la frente, más desarrollada que la región parietal; bóveda aplasta-

da en la región del vértex, con marcado aplanamiento post-obélico y occipucio abombado y prominente; nasio hundido y nariz saliente, tendiendo a convexa. Por detrás es notable el gran aplanamiento de la bóveda (tapinocránea muy acentuada).

Sin embargo, la morfología cromañóide queda algo atenuada en algunos caracteres del neurocráneo, como son: Su aspecto braquimorfo, con mesocránea muy próxima a braquicránea y contorno ovoide-esferoide de la norma superior, imputables al metopismo; débil capacidad craneana y pequeñas dimensiones. También en la cara destaca la nariz muy estrecha y con ángulo diedro de los nasales muy agudo, en concordancia con la acusada leptorrinia. Por ello, puede ser considerado como una forma cromañóide grácil, tan frecuente en el N. de la Isla.

Aunque no se ha podido compararlo métricamente con el cráneo de Llano Negro (comarca de Arguayo), estudiado por Fusté (1965), por no figurar las medidas en dicha publicación, coincide con él en numerosos rasgos morfológicos y en la clasificación de la mayoría de los principales índices, por lo que, dada su vecindad, probablemente cabría relacionarlos, pese a algunas divergencias.

#### BIBLIOGRAFIA

- Barras de Aragón, F. (1929): *Estudio de los cráneos antiguos de Canarias existentes en el Museo Antropológico Nacional*. Actas y Memorias de la Sociedad Española de Antropología, Etnografía y Prehistoria Madrid, volumen 8, págs. 3-153.
- Comas, J. (1942): *Contribution à l'étude du métopisme*. Thèse Sc. n.º 1.038, Impr. A. Kundig. Genève.
- Dérobot, L., et Fully, G. (1960): *Étude critique de la valeur du degré d'oblitération des sutures crâniennes pour la détermination de l'âge, d'après l'examen de 480 crânes*. «Annales de Médecine Légale» (París), vol. 40, número 2, págs. 154-165.
- Diego Cuscoy, L. (1947): *Excavaciones arqueológicas en Tenerife (Canarias)*. «Comisaría Gral. de Excavaciones Arqueológicas, Informes y Memorias», n.º 14. Madrid.
- (1953): *Nuevas excavaciones arqueológicas en las Canarias occidentales. Yacimientos de Tenerife y La Gomera*. «Comisaría Gral de Excavaciones Arqueológicas, Informes y Memorias», n.º 28. Madrid
- (1960): *Una necrópolis de pastores guanches en las cumbres del Valle de La Orotava (Isla de Tenerife)*. «Publicaciones del Museo Arqueológico» (Santa Cruz de Tenerife), n.º 2, págs. 13-30.

- (1963): *Paletnología de las Islas Canarias*. «Publicaciones del Museo Arqueológico» (Santa Cruz de Tenerife), n.º 3.
- (1965): *Tres cuevas sepulcrales guanches (Tenerife)*. «Excavaciones Arqueológicas en España» (Madrid), n.º 37.
- Fusté, M. (1961): *Survivance du type de Cro-Magnon parmi les populations préhistorique et actuelle de l'Archipel Canarien*. «V Intern Kongress für vor-und Frühgeschichte» (Hamburg, 1958) (Berlín), págs. 293-296.
- (1965): *Cráneo procedente de una cueva sepulcral de Llano Negro (Santiago del Teide, Tenerife)*. «Excavaciones Arqueológicas en España» (Madrid), n.º 37, págs. 18-22.
- Lorenzo Perera, M. J. (1976): *Un enterramiento individual en la «Cueva de Chajora» (2.300 metros s. n. m.)*. *Guía de Isora (Isla de Tenerife)*
- Martin, R. (1958): *Lehrbuch der Anthropologie in systematischer Darstellung*. 3.ª edic. por Karl Saller, Edit. G. Fischer. Stuttgart.
- Ortuño Medina, F. (1960): *Vegetación y pastoreo primitivo*. «Publicaciones del Museo Arqueológico» (Santa Cruz de Tenerife), n.º 2, págs 35-39.
- Schwidetzky, I. (1963): *La población prehispánica de las Islas Canarias*. «Publicaciones del Museo Arqueológico» (Santa Cruz de Tenerife), n.º 4.
- (1975): *Investigaciones antropológicas en las Islas Canarias. Estudio comparativo entre la población actual y la prehispánica*. «Publicaciones del Museo Arqueológico» (Santa Cruz de Tenerife), n.º 10.
- Verneau, R. (1887): *Rapport sur une mission scientifique dans l'Archipel Canarien*. «Archives des Missions Scient et Litt.» (Paris), 3<sup>e</sup> Série, volumen 13, págs 35-68.